

# SSDA法による画像の重ね合せ

尾上守夫, 前田紀彦\*, 斎藤優\* (東京大学生産技術研究所)

## 1. まえがき

画像の重ね合せは、マルチスペクトル画像のような複数画像の処理、異時刻の画像間の変化検出、気象衛星画像における雲追跡や交通流画像における車輪追跡のような移動ベクトルの推定などにおいて必要で基本的画像処理の一つである。デジタル画像処理においてこれは普通相関をとることによって行なわれていた。2次元FFTの導入によって相関の演算時間は短縮されたとはいえ、記憶容量、演算時間がまだかなり多い。しかも規格化して相関係数の形にすると一致したときの最大値が判然としない場合が多い。

重ね合せのよさをみる最も簡単な方法は両画像の差をとることである。各画素毎の差の絶対値の和をここでは残差とするとする。両画像が元来等しくて重ね合せが完全ならば画面全体にわたって総計した残差は零になる。重ね合せがずれていようと勿論残差は正值となる。実際には両画像の間に変形や雑音がある場合重ね合せが完全な場合でも残差は零にはならないが、最小値になることは期待してよいのである。したがって一方の画像をいろいろ移動させて残差を最小にする移動をもつて重ね合せが達成されたと考え、この際重ね合せがずれていようと、各画素について順次に加算していく際に残差が急激に増大する、この尖は着目してBarnea等は残差をいきり値を越えたら重ね合せはよくないものと判断して、加算を打ち切りの移動をいう方法を提案し、SSDA法(Sequential Similarity Detection Algorithm)と名付け、この衛星写真の地形の重ね合せに適用して大巾に演算時間を短縮できるとを示した。(1)

本論文の前半はSSDA法を気象衛星画像の雲追跡に適用した結果を述べている。SSDA法は重ね合せをするべき両画像が大体等しいことを前提としていふので、湧出、変形、消失などの異なる雲の追跡にどの程度有効であるか実用的な興味があるであろう。(2)

SSDA法の問題点の一つはしきい値を如何に決定するにである。この値が過大だと演算時間が長くなり、過小だと重ね合せを見逃すおそれがある。本論文の後半はこのしきい値の自動決定法をのべている。適用例としてやはり雲追跡の場合をとりあげていふが、それはおぼろげにSSDA法の元用対象を一般的に使用できよう。(3)

附録には画像以外の音声信号のコマ抽出にSSDA法の考え方が有効に適用できるとを指摘した。

## 2. SSDA法

記述の便宜のためSSDA法の概要をこの節で紹介する。(1)

図1に示すように $L \times M$ 画素の窓画像をそれより大きい $L' \times M'$ 画素の調査範囲の中で上下左右に移動させ、次の残差が最小になるような窓画像の位置を求めて重ね合せが達成されたと思ふ。

\* 気象庁 この研究は東大生研で研修中に行つたものである。





演算時間は FACOM 230-55 に用いた相関法では一画画像当り平均30秒、これに対して SSDA 法では一定しきい値で 2.8 秒、傾斜しきい値で 0.5 秒と 1 桁以上短縮できた。

参考のためには図 7 に示す \$F\$ が 1 次微分操作と予め原画像に \$F\$ を 1 次縁辺強調した上で SSDA 法を適用し、これを前の相関法の結果と比較したものの比較である。これは \$F\$ をとると、その部分でも僅かな陰影をとらえて移動のトビラ検出できる反面、その他、領域の誤差も大きくなることである。

Barnea 等は粗い移動をまず最小値の候補となる領域をえらび、その中で細く移動すると、2 段階の方法を示唆している。 \$\Rightarrow\$ これは移動のスタートとして Hall 等のスタートに採用した<sup>(11)</sup> (ただし、彼等は通常テンプレート法を用いており SSDA 法は使っていない。) ちなみには、8 画素の粗く移動させて、そのとき、最小値と 2 番目に小さい値を \$E\$ と \$E'\$ とする。つまり、この \$E\$ は \$E\$ の中心として上下、左右に一画素ずつ移動し、その中で最小値と \$E\$ との間の一画素の移動をくりかえす。同じ \$E\$ の 2 点 \$E\$ と \$E'\$ の \$E\$ より \$E'\$ が小さいと、この \$E\$ と \$E'\$ の間の移動をくりかえす。SSDA 法には、このスタートを組み合わせた結果、一定しきい値で 0.3 秒とこの結果からいえる。この方法は、このようにして \$E\$ に対しては、必要に応じて \$E\$ の除外領域以外では正しく動作した。(ただし、一般には真の最小値を見逃す可能性もたはし、対象とする画像の性質によらずに判別できない場合には用いるべきである)。

#### 4. しきい値の自動決定

SSDA 法の適用にあたっての問題となるのはしきい値をいかに決定するに過ぎない。Barnea 等のようにした曲線は対象と下の画像の統計的性質を利用し、これと使えない。彼等はまずしきい値を適応的に変えることを示唆している。具体的に手頃な方法として示したものは、また Webber は最小二乗法で適合させた 1 次平面をひききつた後に、画画像の signal strength measure という量を測定し、その数倍をしきい値とする方法を提案している。計算は非常に煩雑である。<sup>(12)</sup> \$\Rightarrow\$ これは対象画像の統計的性質を利用し、自動的にしきい値を決定できる方法を報告する。

まず一定しきい値の場合について示す。最初にしきい値 \$T\_0\$ を最後 (\$M=L \cdot M\$) まで加算させ、その時の残差を最初のしきい値とす。次に最後まで加算した \$M\$ 毎に、その残差を新しいしきい値とす。このアルゴリズムを図 8 に例示する。加算曲線 1, 2, 5 は最後まで加算した。その時の残差も単調に減少する一定しきい値の系列 \$T\_0, T\_1, T\_2\$ をとる。一方加算曲線 3, 4 はしきい値 \$T\_1\$ に達して打ち切られている。このアルゴリズムの利点は常に真の最小値に達するのを保証したものである。

傾斜しきい値ではその利点は失われ、演算時間はさらに短縮できる。前述のように最後まで加算するとは何回もあきらめ、これを \$F\$ として平均値を推定できる。Barnea 等のより指数分布を仮定した (3) 式を使用できる。ちなみちる加算曲線も最後まで加算した。そのときの残差を \$T\_i\$ にすると、次の傾斜しきい値 \$T\_i'\$ を次式で与えられる。

$$T_i' = \frac{T_i}{L \cdot M} (1 + K \sqrt{F}) \quad (4)$$

このようにして述べたように \$T\$ が大きいと、この能率が悪いので、\$T\_i' = T\_i\$

になった英に、図9に示すように一定しきい値  $T_c$  に切換せよとにし、安全率  $K$  は対象画像の性質によつてきめなければならぬ、こゝで用いた  $T_c = 7$  は、 $T_c = 1$  以上2以上取れば十分である。もう一つ  $T_c$  が安全率  $K$  が小さい程演算時間は短縮されるが、誤動作も多くなるのである。

以上の両アルゴリズムは予測と有効に組合せよと仮定でき、予測した英に  $T_c$  を加算をばいぬれば、その残差は最小値でないとしても小さくなることと期待される。しきい値  $K - 1$  以下に引下げるとなるのである。

両アルゴリズムと前節の雲追跡に適用した結果を表3に示す。前節で用いた固定しきい値の値は何回かの実験によつてその最適値に定まるとする、これと比較して自動設定のものは一定しきい値ではなくなり、傾斜しきい値では若干ある。予測は移動ベクトル加算の領域と同じに行うように行つたが、この二つのアルゴリズムに対しても効果があることは明らかである。傾斜しきい値で固定の場合には安全率  $K$  が3以上ないと誤動作がたつた。自動設定の場合には  $T_c$  が十分である。安全率  $K$  とし、予測を用いぬば自動設定も固定の最適の場合と同程度の演算時間となる。

## 5. 結言

画像の重ね合せの有力な方法であるSSDA法と気象衛星画像の雲追跡に適用して、従来行われていた相関法と同等の結果を、1桁以上短い演算時間で得られることを明らかにした。

SSDA法を適用する際は一番問題となるしきい値を自動的に設定する方法を考案した。一定しきい値では対象画像の性質を予知する必要はたつた。しかも常に正しい結果を得られることと保証される。傾斜しきい値ではその保証は失われるが、演算時間はさらに短縮できる。両アルゴリズムとも予測と有効に組合せよと仮定でき、その自動設定はSSDA法の応用対象に一般的に採用できるものである。例として前述の雲追跡に適用して有効なことを示した。

## 文献

- (1) D.I.Barnea and H.F.Silverman: A class of algorithm for fast digital image registration, IEEE Trans. Comput., vol. C-21, pp. 179-186, Feb. 1972.
- (2) 尾上, 前田: 残差検定法による気象衛星画像の雲追跡, TV全大, 11-7, 1974.
- (3) 尾上, 青木: 残差検定法による画像重ね合せにおけるしきい値の自動決定, 信全大, 1977, 1975.
- (4) M.Onoe and M.Saito: Automatic threshold setting for the sequential similarity detection algorithm, IEEE Trans. Comput. (to be published)
- (5) T.T.Fujita, R.Watanabe and T.Izawa: Formation and structure of equatorial anticyclones caused by large-scale cross equatorial flows determined by ATS-I photographs, J. Appl. Meteorol., vol. 8, pp. 649-667, Aug. 1969.
- (6) J.A.Leese, C.S.Novak and B.B.Clark: An automated technique for obtaining cloud motion from geosynchronous satellite data using cross correlation, ibid., vol. 10, pp.118-132, Feb.1971.
- (7) E.A.Smith and D.R.Phillips: Automated cloud tracking using precisely aligned digital ATS pictures, IEEE Trans. Comput., vol.C-21, pp.715-729, July, 1972.
- (8) R.M.Endlich, D.E.Wolf, D.J.Hall and A.E.Brain: Use of a pattern recognition technique for determining cloud motions from sequence of satellite photographs, J. Appl. Meteorol., vol.10, pp. 105-117, Feb. 1971.
- (9) 山本, 他: 気象衛星画像からの風ベクトル演算アルゴリズム, 情報処理, vol.15, pp.10-17, Jan.1974.
- (10) E.Smith and D.Phillips: McIDAS cloud tracking system, Univ. of Wisconsin, Aug. 1973.

(11) D.J.Hall, R.M.Endlich, D.E.Wolf and A.E.Brain: Objective methods for registering landmarks and determining cloud motions from satellite data, IEEE Trans. Comput., vol.C-21, pp.768-776, July 1972.

(12) W.F.Webber: Techniques for image registration, Proc. Machine Processing of Remotely Sensed Data, IEEE Catalog 73, CHO 834-2GE, pp. 1B-1-1B-7, 1973.

附録 音声のピッチ抽出へのSSDA法の応用

音声認識において母音のピッチ抽出は最も基本的な操作の一つであり、実時間演算が可能な手法の求められている。最近 Moorer (A1) 及び Ross 等 (A2) は次のようなアルゴリズムを提案している。

$k$  個のサンプリングした音声のセグメント  $X_i$  と  $k$  個の  $j$  個の遅延したセグメント  $X_{i-j}$  との次の  $Y_j$  を定義する

$$Y_j = \sum_{i=1}^k |X_i - X_{i-j}| \quad (A1)$$

$j$  をいろいろに取ると  $Y_j$  が最小になるときの値をピッチとみなす。

SSDA 法的な考え方は  $n$  の場合は適用できることは明らかである。ただその適当な  $n$  の値を考へて、 $Y_j$  がそれを超したならば計算を打ち切って次の  $j$  の値にうつらなければならない。この方法の今一つの利点は  $Y_j$  の最大値を過ぎるまでもたは Ross 等のいうような整数演算におけるオーバーフロー対策が不要になることである。

附録文献

(A1) J.A.Moorer: The optimum comb method of pitch period analysis of continuous digitized speech, IEEE Trans. Acoustics, Speech and Signal Processing, vol. ASSP-22, pp.330-338, Oct. 1974.

(A2) M.J.Ross, H.L.Shaffer, A.Cohen, R.Freudbery and H.J.Manley: Average magnitude difference function pitch extractor, ibid. pp.353-362, Oct. 1974.

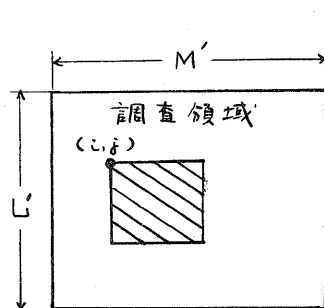


図1 窓画像と調査領域

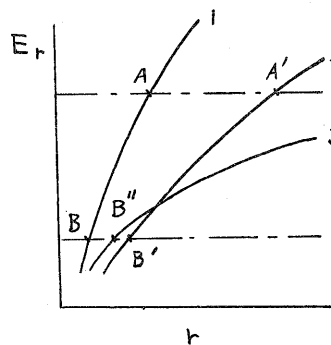


図2 一定しきい値

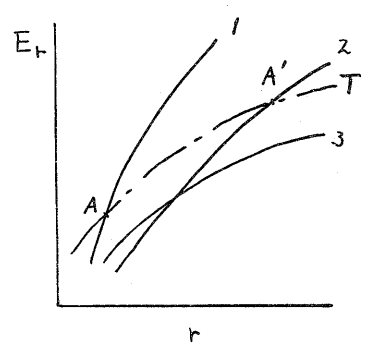


図3 傾斜しきい値

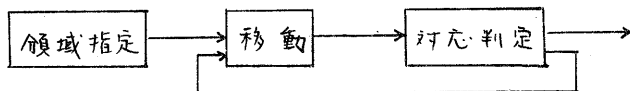


図4 雲追跡の手法

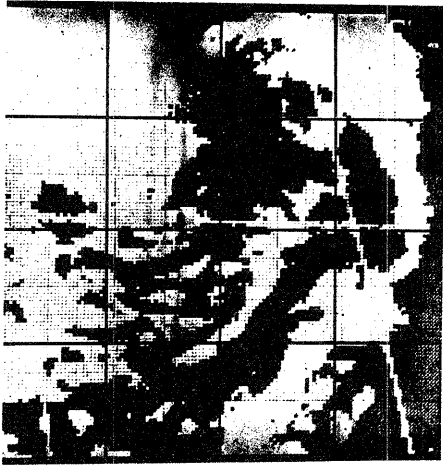


図5 ATS画像(1971.8.15.20.32)

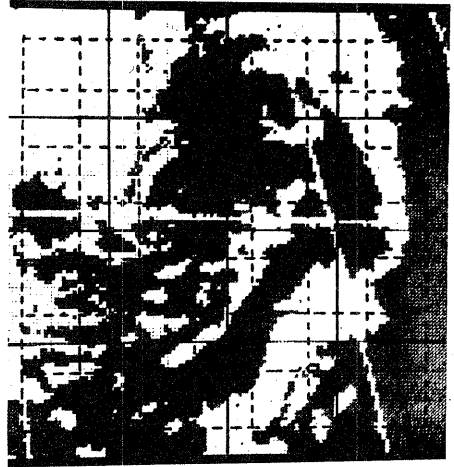


図6 ATS画像(1971.8.15.20.54)

A	B	C
D	E	F
G	H	I

$$E' = |A + B + C - G - H - I| + |A + D + G - C - F - I|$$

図7 1次微分操作

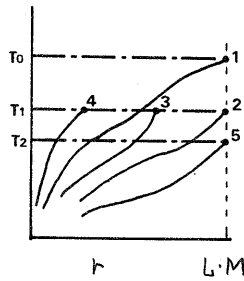


図8 一定しきい値の自動設定

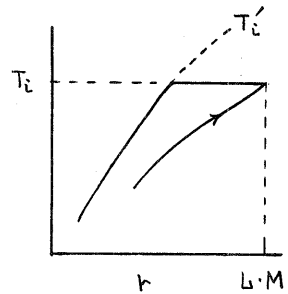


図9 傾斜しきい値の自動設定

X	X	2	2	0	2	2
X	0	2	2	0	0	1
2	X	1	X	1	0	0
0	0	2	0	0	0	0
1	1	0	0	0	2	1
1	0	0	1	0	0	X
0	0	1	0	0	0	X

表1 相関法とSSDA法との比較

(Xは3以上)

0	2	0	2	1	0	2
1	X	1	X	0	X	0
0	0	0	X	0	0	0
X	0	1	0	1	0	0
0	1	1	0	2	X	0
0	0	1	1	0	0	X
0	0	0	1	0	0	X

表2 相関法と1次微分法のSSDA法との比較

アルゴリズム	しきい値	
	一定	傾斜
		K=2    K=3
自動	2.30	0.65    0.83
(予測付)	1.94	0.57    0.73
固定	2.83	—    0.51

表3 演算時間の比較

(単位: 秒)